

격막추출법에 의한 Butanol 발효제품의 동시회수에 대한 수치모사연구

전영종* · 이윤영

*제일제당(주) 종합연구소
Auburn 대학 화학공학과

(1989년 3월 30일 접수, 1989년 6월 17일 채택)

Mathematical Modeling and Simulation of the Membrane-Extractive Butanol Fermentation

Y.J. Jeon* and Y.Y. Lee

*R&D Center, Cheil Sugar & Co., Ltd.

Dept. of Chem. Eng., Auburn University, Auburn, AL 36830, USA

(Received 30 March 1989; accepted 17 June 1989)

요약

Butanol 발효에서 product inhibition으로 인한 문제점들을 해결하기 위한 방법의 하나로 개발된 격막 추출법에 의한 발효제품 동시회수 공정에 대하여 수학적 모델을 설정하고 모사연구를 수행하였다. 그 결과 가능한 한 고농도의 feed 당을 사용하는 것이 생산성 향상에 가장 크게 기여할 수 있는 방법인 것으로 나타났다. 이외에 격막면적이나 추출용매 공급속도를 증가시키는 방법은 생산성 향상효과가 미약하므로 기준용량 이상의 증가는 불필요한 것으로 보인다. 한편 용매의 분배계수는 oleyl alcohol 정도이면 충분한 것으로 나타났다.

Abstract—A mathematical model of the membrane-extractive butanol fermentation process, which has been developed as a method of *in situ* product recovery to solve the problems of butanol fermentation caused by the severe product inhibition, was proposed and the model was solved by a computer-assisted numerical method. The results indicate that the best way of improving the butanol productivity is to use a feed with high glucose concentration. On the other hand, only marginal advantages are obtained by increasing the membrane area and/or the extractant flow rate beyond certain limits. It is also shown that a solvent with distribution coefficients as high as those of oleyl alcohol is acceptable for this process.

1. 서 론

Butanol 발효는 butanol, butyric acid 등 생성물의 독성으로 인한 저해작용(end-product inhibition)이 심각하여 발효농도 및 생산성에 많은 제한을 받는다. 이 문제점을 극복하기 위한 방안으로 추출발효법

(extractive fermentation)[1-3], 격막증류법(per-vaporation)[4-6], 격막추출법(perstraction or membrane-assisted extraction)[7-11], 및 흡착법(adsorption)[12] 등의 발효산물 동시회수(*in situ* product separation) 방법들이 개발된 바 있다. 이 중 격막추출법은 선택투과성격막을 사용하여 발효액과 추

출용-매와의 직접 접촉을 막음으로써 통상적인 추출발효법이 갖는 세 문제점을 해결하면서 종래의 회분식 발효와 비교하여 4배 이상의 생산성 향상효과가 있음이 밝혀졌다[10]. 이 격막추출법은 butanol 발효에 적응시킬 경우 발효 product의 격막을 통한 물질전달속도와 product inhibition의 영향을 받는 발효속도가 상호연관 관계를 가지면서 변하기 때문에 그 상관관계를 수치해석적 모사연구를 통하여 규명해 보고자 하는 것이 본 연구의 목적이다. 이를 위하여 먼저 system을 단순화시키기 위한 수개의 기본가정을 도입한 후 발효조와 추출조에서의 물질수지, 균체성장속도, 제품생성속도 및 격막을 통한 물질전달속도를 나타내는 관계식들을 유도하였으며 필요한 상수들은 실험결과 및 관련 문헌으로부터 발췌하였다. 이 관계식들을 유기적으로 종합하여 computer program을 작성하고 이로부터 발효기질농도, 기질공급속도, 추출용매 공급속도 및 격막면적 등의 control variable들이 생산성, 추출효율, 발효액 및 용매 중의 발효생산물 농도 등에 미치는 영향을 분석하여 보았다. 균주는 *C. acetobutylicum*을, 격막 및 용매는 silicone membrane과 oleyl alcohol을 사용하는 것으로 가정하였다. 격막추출발효법의 모사에 관한 연구는 현재까지 보고된 바가 없으며 ethanol의 추출발효법에 관한 모사연구는 보고된 바 있다[13, 14].

2. 격막추출법의 설명

Fig. 1은 butanol 발효에서의 격막추출법(membrane extractive butanol fermentation 혹은 약어로 MEBF)의 대략적 구성을 보여주고 있다. 좌측의 fermentor로 당농도 S_f 의 feed가 F 의 속도로 연속적으로 공급된다. 이 당은 fermentor 내의 균체에 의하여 이용되어 각종 product (butanol, acetone, ethanol, butyric acid, acetic acid)를 생산한다. 이 product들을 함유한 발효액이 extractor를 순환하는 동안 product들은 diffusion에 의하여 격막을 통하여 용매로 추출되게 된다. Product i의 발효액(부피=V) 중의 농도는 C_i , 용매 중의 농도는 $C_{s,i}$ 이며 extractor 중의 용매에 잠겨있는 격막의 면적은 A, 물질전달계수는 $k_{L,i}$ 이다. Extractor에서는 초기 product 농도가 $C_{s,i}$ 인 신규용매가 F_s 의 속도로 공급되고 추출된 product를 $C_{s,i}'$ 의 농도로 함유한 용매가 F_s' 의 속도로 회수된다. 격막을 통한 총 product의 추출속도

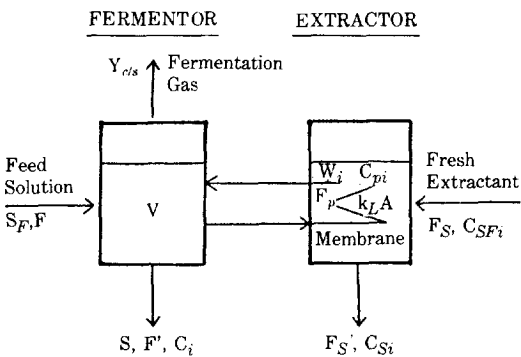


Fig. 1. Schematic diagram of the membrane-extractive butanol fermentation system.

(volumetric flow rate)를 F_p , 이 중의 i 성분의 함량을 $C_{p,i}$ 로 정의하였다.

3. 기본가정

MEBF system의 모사연구를 위하여 도입된 기본가정들은 다음과 같다.

1. System은 정상상태에 있다.
2. 격막은 발효 product만을 선택적으로 투과시킨다. 물, 용매, 균체, 배지성분 등은 격막을 통과하지 못한다.
3. 당 이외의 성분은 충분히 공급되어 당만이 제한영양소로 작용한다.
4. 발효액과 당 feed의 비중은 다음의 두 식과 같이 그 액 중의 당농도와 product 농도에 대하여 linear한 관계로 나타내어진다[14].

$$\rho = 1000 + x_1 S + x_2 P \quad (1)$$

$$\rho_F = 1000 + x_1 S_F \quad (2)$$

5. 발효 product와 용매는 이상용액(ideal solution)을 형성한다. 즉

$$F'_s = F_s + F_p \quad (3)$$

6. α , β , $Y_{x/s}$ 및 $Y_{c/s}$ 등의 상수들은 발효기간 중 불변이다. 여기서 α 와 β 는 specific productivity (q_p)와 specific growth rate(μ)의 관계를 나타내주는 상수이며 $Y_{x/s}$ 와 $Y_{c/s}$ 는 각각 생성된 cell yield 및 CO_2 yield이다.

7. Butanol 만이 product inhibition을 일으킨다. 다른 product들의 농도는 각각의 threshold value 이하로 유지되므로 발효에 영향을 미치지 않는다.

8. 발효 product 상호간의 비율은 일정하다.

위와 같은 8개의 가정 중 2, 3, 7은 실험의 기본조건 혹은 실험결과 관측된 사항이며[10, 11] 그 외는 model의 정확도를 크게 손상시키지 않으면서 system을 단순화시키기 위하여 도입된 최소한의 가정들이다.

4. 모형식

정상상태 하의 발효조에서의 기질, 균체 및 product에 대한 물질수지식은 다음과 같다.

기질 :

$$0 = DS_F - D'S - \mu X / Y_{X/S} \quad (4)$$

균체 :

$$0 = 0 - D'X + \mu X \quad (5)$$

Product :

$$0 = 0 - D'C_i - W_i/V + q_{pi}X \quad (6) \\ (i=1 \text{ to } 5)$$

한편, 추출조에서의 product 수지식은 다음과 같다.

$$0 = D_s C_{sf} + W_i/V - D_s' C_{si} \quad (7)$$

여기서 i는 발효 product를 나타내는 데 gas chromatography에서의 retention time 순으로 정하였다. 즉 1=ethanol, 2=acetone, 3=acetic acid, 4=butanol, 5=butyric acid을 나타낸다.

일반적인 CSTR system에서의 기본적인 가정의 하 나는 액의 유입속도(F)와 유출속도(F')가 동일하다는 것이다(constant flow assumption). 그러나 본 발효 system의 경우에는 다음과 같은 이유로 이러한 가정이 적용되지 않는다. MEBF에서는 생산성 제고 및 에너지 절약의 이점 때문에 고농도($S_F = 250\text{-}750\text{g/l}$)의 당을 사용하는 편이 유리하다. 배지 종의 당은 대부분 발효 product로 변환되어 격막을 통하여 추출이 되므로 액의 유출속도(F')는 유입속도(F)에 비하여 작은 값을 갖게 된다. 실제 운전조건에 따라 F'은 F보다 10-40% 작은 것으로 나타났다. 또한 용매의 유입속도(F_s)와 유출속도(F'_s)도 차이가 나게 된다. 따라서 F와 F'의 관계를 다음과 같은 당성분의 물질수지식으로부터 구하였다.

$$F\rho_F + F_s\rho_s = F'\rho + F'_s\rho_s' + Y_{c/s}(FS_F - F'S) \quad (8)$$

(8)식의 마지막 항은 발효시 이산화탄소 생성에 소모되는 당의 양을 나타낸다.

한편 추출용매측의 물질수지식은

$$F'_s\rho_s' = F_s\rho_s + F\rho_F \quad (9)$$

와 같다. 이 관계를 (8)식에 대입하여 정리하면 다음과 같이 된다.

$$D\rho_F = D'\rho + W/V + Y_{c/s}(DS_F - D'S) \quad (10)$$

여기서 W는 총 product의 추출속도를 가리킨다. 위의 (4)-(10)중에서 W_i, μ 는 각각 다음과 같은 식으로 표시될 수 있다.

$$W_i = k_i A (K_{bi} C_i - C_{si}) \quad (11)$$

$$\mu = \mu_{max} [S / (S + K_s)] \Psi_p \quad (12)$$

여기서 Ψ_p 는 product inhibition을 나타내는 항으로써 $C_4 \leq C_{4i}$ 일 경우에는 $\Psi_p = 1$ 이며 $C_4 > C_{4i}$ 일 경우에는 $\Psi_p = 1 - (C_4 - C_{4i})/K_{4i}$ 가 된다[11, 15].

한편 q_{pi} 와 μ 와의 사이에는 다음과 같은 상관관계가 성립한다[11].

$$q_{pi} = r_i (\alpha\mu + \beta) = \alpha_i\mu + \beta_i \quad (13)$$

이상의 내용을 검토해 보면 모두 8개의 서로 독립적인 관계식에 식 (4-7, 10-13) 8개의 미지수 변수가 ($S, X, C_i, C_{si}, D', W_i, \mu, q_{pi}$) 존재함을 알 수 있다. 따라서 나머지 필요한 상수들의 값만 주어지면 실험조건을 나타내는 S_F, A, D, D_s 등의 변화가 위의 미지변수들에 미치는 영향을 정량적으로 구할 수 있다.

5. 상수와 변수의 설정

Table 1. Fixed value parameters in the simulation study

Parameter	Value	References
V	300 ml	experimental condition
μ_{max}	0.05 h ⁻¹	[11], p. 135
K_s	1.02 g/l	[11], p. 73
C_{4i}	4.4 g/l	[11], p. 64
K_{4i}	15.7 g/l	[11], p. 64
Y_{CS}	0.556	[16]
Y_{XS}	0.020	[11], p. 133
x_1	0.411	[17]
x_2	-0.155	[18]
K_D	3.56 for butanol 0.34 for ethanol	[11], p. 31
k_i	4.23 × 10 cm/sec for butanol	[11], p. 46
r_i	0.69 for butanol	[11], p. 94
q_p	6.23 μ + 0.172	[11], p. 154

Table 2. Variable parameters in the simulation study

Parameter	Minimum	Standard	Maximum	Unit
D	0.002	0.025	0.050	h^{-1}
D_S	0.1	0.2	10.0	h^{-1}
A	0.15	0.30	3.0	m^2
S_F	250	500	750	g/l

MEBF 모형식들에 대입할 상수들과 그 출처는 Table 1과 같다. 이 중 대부분은 실험을 통하여 얻은 값들이며 일부는 여타문헌에서 인용하였다. 그리고 Table 2에는 실제운전에 있어서 직접 조정가능한 변수들의 상하한치와 기준치를 수록하였다.

6. 결과 및 고찰

대표적인 운전조건 ($S_F=500\text{ g/l}$, $D_s=0.20\text{ h}^{-1}$, $A/V=10\text{ cm}^{-1}$) 하에서 발효액의 회석율(dilution rate), D가 여러 변수들에 미치는 영향을 Fig. 2에 나타내었다. 이 그림으로부터 얻을 수 있는 요점들은 다음과 같다.

1. $D=0.037\text{ h}^{-1}$ 일 때 생산성이 최대가 되며 이론적으로 도달 가능한 최대생산성은 $4.34\text{ g/l} \cdot \text{h}$ 이다.

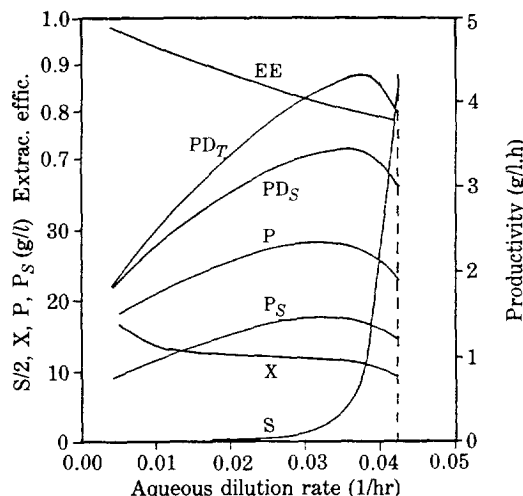


Fig. 2. Pattern of membrane-extractive butanol fermentation variables.

$S_F=500\text{ g/L}$, $A/V=10\text{ cm}^{-1}$, $D_s=0.2\text{ h}^{-1}$. P , P_S =total solvent concentration in the broth and in extractant; PD_T =total solvent productivity; PD_S =extracted solvent productivity

2. 이때의 잔당농도는 14.0 g/l 로써 97.2%의 초기 당이 product로 전환된다.

3. $D=0.036\text{ h}^{-1}$ 일 때 발효액과 용매 중의 product 총 농도는 최고치(각각 27.7 g/l 및 17.1 g/l)에 도달한다.

4. 추출효율(η)은 D 값이 증가할수록 감소한다. 최대생산성을 얻는 조건($D=0.037\text{ h}^{-1}$) 하에서는 이 값이 0.80이다.

5. $D=0.035\text{ h}^{-1}$ 이상에서는 잔당농도가 급속히 증가하기 시작하여 $D=0.0424\text{ h}^{-1}$ 에서 100 g/l 에 도달한다.

Taya 등[18]은 *C. acetobutylicum*은 발효액 중의 당농도가 80 g/l 가 되면 substrate inhibition을 받는 것으로 보고하였다. 따라서 본 모사연구에서는 당농도 100 g/l 를 상한으로 선택하였다. 실제 발효에서 당농도가 이 선을 넘게 되면 발효속도가 멀어지고 따라서 당농도가 더욱 높아지는 상승작용을 일으키게 되어 당 feeding 속도를 감소시켜 주지 않는 한 궁극적으로 발효가 중지되게 된다.

MEBF에 있어서 균주 및 기타 배양조건이 고정되었을 경우 생산성에 영향을 미칠 수 있는 변수로는 feed 당농도(S_F), 결막면적(A), 용매공급속도(D_S) 및 용매의 분배계수(K_D)의 네 가지가 있다. 다음의 Fig. 3-6은 이들 변수들이 생산성에 미치는 영향을 분석해 본 것이다. 그 결과 생산성에 가장 결정적인 영향

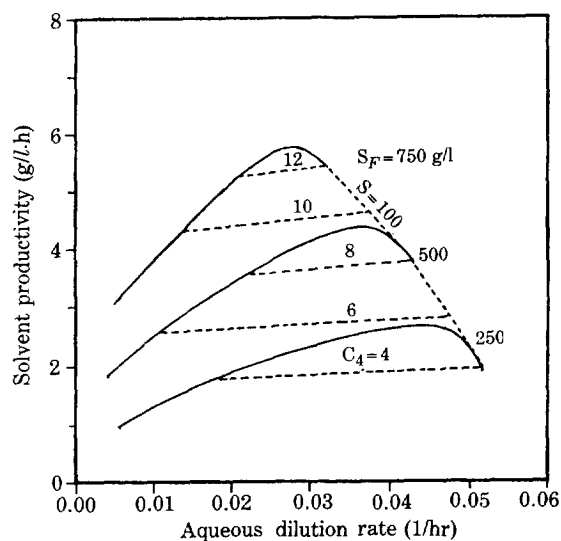


Fig. 3. Effect of feed glucose concentration on total solvent productivity.

$A/V=10\text{ cm}^{-1}$, $D_S=0.2\text{ h}^{-1}$

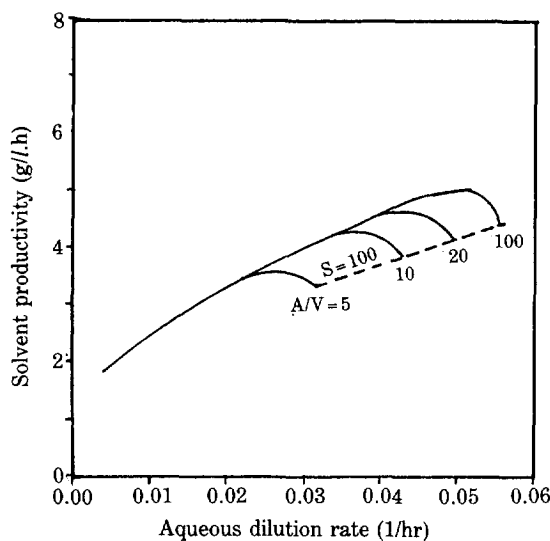


Fig. 4. Effect of membrane area on total solvent productivity.

$$S_F = 500 \text{ g/l}, D_S = 0.2 \text{ h}^{-1}$$

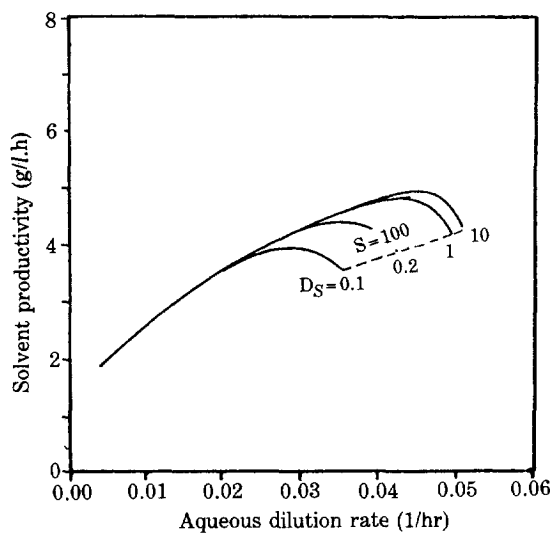


Fig. 5. Effect of extractant dilution rate on total solvent productivity.

$$S_F = 500 \text{ g/l}, A/V = 10 \text{ cm}^{-1}$$

을 미치는 변수는 S 인 것으로 나타났다. 즉 Fig. 3에 서 보듯이 S 가 250, 500, 750g/l 일 때 최대생산성은 2.64, 4.34 및 5.79g/l로 상당히 큰 폭으로 변한다. 이 때 생산성이 최대가 되는 D 값은 S 가 커질수록 낮아진다. 그러나 실제 발효에서는 고농도의 당을 사용하였을 경우라도 생산성의 향상이 모사연구에서 예측되는 만큼 크지가 않다. 그 이유는 모사연구에서는 $Y_{X/S}$, μ_{max} ,

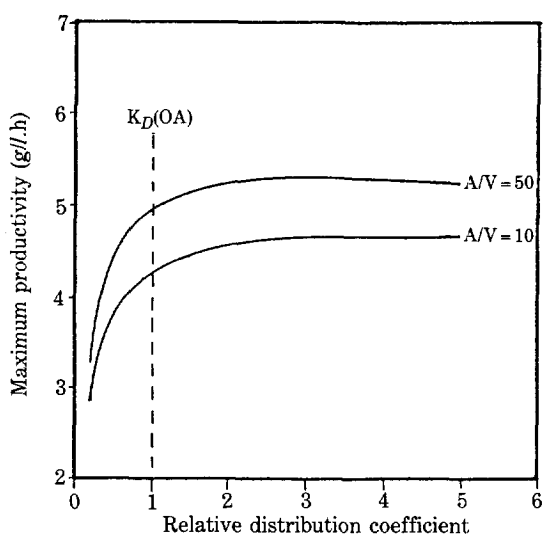


Fig. 6. Effect of distribution coefficient on total solvent productivity. The distribution coefficients of oleyl alcohol for the butanol fermentation products are taken as one unit.

$$S_F = 500 \text{ g/l}, A/V = 10 \text{ cm}^{-1}, D_S = 0.2 \text{ h}^{-1}$$

및 q_P 등이 S_F 와 무관한 것으로 가정하였으나 실제로는 이들이 S_F 가 커질수록 낮아져서 S_F 의 증가에 의한 생산성 향상효과를 둔화시켜 주기 때문인 것으로 보인다. 따라서 본 model의 정확도를 높이기 위해서는 차후 이와 같은 점들을 보완하여 주어야 한다.

A/V (단위 발효부피당 격막면적)나 D_S (용매공급속도)가 생산성에 미치는 영향은 S_F 에 비하여 훨씬 작은 것으로 나타났다(Fig. 4, 5). 즉 A/V 나 D_S 를 표준조건($A/V = 10 \text{ cm}^{-1}$, $D = 0.2 \text{ h}^{-1}$)에서 2배로 증가시킬 경우의 생산성 향상효과는 각각 겨우 9.2% 및 5.9%에 불과하다. 실제 공정에서 추출용량의 균형을 유지하기 위해서는 A/V 와 D_S 를 동시에 증가시켜 주어야 하는데 각각 2배씩 증가시킬 경우의 생산성의 증가효과는 15.7%로서 역시 높은 편은 아니다. 하지만 A/V 와 D_S 를 모두 1/2로 감소시킬 경우에는 생산성이 약 30% 떨어지게 되어 그 영향이 심각하게 되는 것으로 나타났다.

Fig. 6은 oleyl alcohol 이외의 다른 종류의 용매를 사용할 경우 그 분배계수(K_D)가 생산성에 미치는 영향을 분석해 본 것이다. X-축은 oleyl alcohol의 분배계수를 1(그 절대치는 butanol에 대하여 3.56, acetone에 대하여 0.34 등임)로 잡았을 경우 다른 용매의 분배계수의 상대적인 값을 나타낸다. 이 결과에서

Table 3. Solutions of the MEBF model equations under the constant flow assumption

Case 1: No product inhibition ($C_4 \leq C_{4i}$)	Case 2: Under product inhibition ($C_4 > C_{4i}$)
$C = \frac{(Ex + 1)(\alpha + \beta/D) Y_{X/S}(S_F - S)}{Ex + 1 + (D_S/D)K_D}$	$C = \frac{B_2(B_2^2 - 4B_1B_3)^{1/2}}{2B_1}$
$C_S = \frac{K_D(\alpha + \beta/D) Y_{X/S}(S_F - S)}{Ex + 1 + (D_S/D) K_D}$	where $B_1 = A_1/K_1$ $B_2 = A_1A_4 + A_2S_F/K_I + D_S C_{SF}/DK_I$ $B_3 = A_2A_4S_F + (D_S/D)A/C_{SF} - A_2A_3$
$S = \frac{K_S(D/\mu_{max})}{1 - D/\mu_{max}}$	and $A_1 = Ex + 1 + (D_S/D)K_D$ $A_2 = (\alpha + \beta/D) Y_{X/S}(Ex + 1)$ $A_3 = K_S D/\mu_{max}$ $A_4 = 1 + C_I/K_I - D/\mu_{max}$
$X = Y_{X/S}(S_F - S)$ $= (D_S/D)K_D/[Ex + 1 + (D_S/D)K_D]$	
$PD_T = (\alpha D + \beta) Y_{X/S}[S_F - K_S D/(\mu_{max} - D)]$	$C_S = \frac{K_D + Ex C_{SF}}{Ex + 1}$
where $Ex = D_S V/kA$	$S = \frac{K_S D/\mu_{max}}{1 - (C - C_I)/K_I - D/\mu_{max}}$ $X = Y_{X/S}(S_F - S)$ $= D_S C_S/(\alpha D + \beta) X$ $PD_T = D Y_{X/S}(S_F - S)$

보여주는 바는 K_D 가 oleyl alcohol 보다 큰 용매를 선택할지라도 생산성 향상에 기여하는 정도는 극히 미미하다는 것이다. 즉 K_D 가 2배 증가하더라도 생산성 향상효과는 6% 수준에 불과하다. 그러나 oleyl alcohol 보다 K_D 값이 낮은 용매를 사용할 경우에는 이것이 rate determining factor 가 되어 생산성이 급속히 떨어진다.

한편 MEBF 모형식들은 앞서 언급한 constant flow assumption 을 도입하기만 하면 computer 를 사용하지 않고도 analytical solution 을 얻을 수 있다. 본 연구에서는 유도과정은[11] 생략하고 그 결과만을 Table 3에 요약하였다. 단 Table 3의 식들 중의 C_i , C_s , K_D 등에 첨가되는 subscript i는 식들의 복잡성을 피하기 위하여 생략하였다.

Fig. 7은 constant flow assumption 을 도입하여 구한 analytical solution 과 numerical solution 과의 차이를 나타낸 것이다. 이 결과를 보면 D' 과 D 는 feed 당 농도에 따라 10-40%의 커다란 차이가 발생하며 이 차이를 무시하고 constant flow assumption 을 적용하여 생산성을 계산할 경우에는 5-20%의 오차가 생기게 됨을 알 수가 있다. 따라서 Table 3의 이론식들은 feed 당 농도가 250g/l 이하인 경우에만 큰 오차없

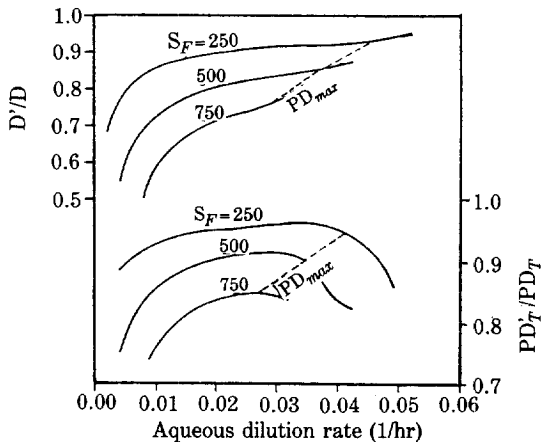


Fig. 7. Effects of feed glucose concentration and aqueous dilution rate on D'/D ratio and corresponding PD_T'/PD_T ratio.
 $S_F = 500 \text{ g/l}$, $AV = 10 \text{ cm}^{-1}$, $D_S = 0.2 \text{ h}^{-1}$

이 적용 가능하다.

Table 4는 이전과 같이 개발된 모델식의 타당성을 검토해 보기 위해서 실제 실험결과와 모사연구결과 예측되는 productivity 를 비교해 본 것이다. 여기서 미리 언급해 둘 사항은 첫째 PD_{exp} 는 전체 발효기간 중

Table 4. Comparison of solvent productivities predicted by the model with experimental values

Run No.	Experimental condition			PD _{sim}	PD _{exp}	Relative Error (%)
	S _F	D _S	D			
3	250	0.2	0.032	2.31	2.51	-8.0
6	500	0.2	0.014	2.87	2.34	22.6
7	500	0.2	0.010	3.12	2.58	20.9
9	500	0.1	0.013	2.76	1.98	39.4
10	500	0.4	0.014	2.88	2.29	25.8
Average = 20.1						

Table 5. Comparison of cell concentrations and specific productivities predicted by the model with experimental values

Run No.	Cell Concentration			Specific productivity		
	Pred.	Exper.	Error (%)	Pred.	Exper.	Error (%)
3	10.8	11.2	-3.6	0.214	0.224	-4.5
6	12.9	9.2	40.2	0.223	0.253	-11.9
7	12.6	11.4	10.5	0.248	0.226	9.7
9	12.9	8.6	50.0	0.214	0.229	-6.6
10	13.0	9.3	39.8	0.222	0.245	-9.4
Average	27.4			-4.5		

의 productivity가 아니라 발효 첫 부분과 마지막 부분을 제외하고 system이 대체로 정상상태하에 있는 기간 동안의 평균 productivity를 나타낸다는 것과 둘째 Table 4에 선택된 개별실험들은 총 12회의 실험 [10] 중 기본가정 1과 3을 충족하여 모사연구와 직접 비교가 가능한 경우라는 점이다. 비교 결과를 분석해 보면 PD_{sim}이 PD_{exp}보다 평균 20%(-8%에서 40% 범위) 정도 높은 값을 가지는 것을 알 수 있다. Table 5는 이러한 오차의 주된 원인을 밝히기 위하여 균체농도 및 specific productivity(단위균체량 당의 productivity)에 대한 모사치와 실험치를 비교해 본 것이다. 이 결과를 보면 균체농도(X)의 오차가 productivity 오차와 대체로 비슷하며 반면에 specific productivity의 경우에는 모사치와 실험치가 ±10% 오차범위 내에서 대체로 잘 일치하여 기대발달한 모델식은 균체농도 부분만 보완하면 대체적으로 실제의 MEBF system을 잘 반영한다고 할 수 있다. 본 모델식이 균체농도의 예측에 문제점을 가지는 것은 실제 발효에서 관측되는 일부 현상을 모델식에서 고려하지 않

았기 때문으로 보인다. 그 대표적인 예가 autolysis으로서 butanol 발효에서는 최근에 발견된[19] 이 self-destructing enzyme이 균체의 일부를 분해하여 균체농도를 예상보다 낮게 하는 역할을 하는 것으로 보이나 현단계로서는 이 enzyme의 특성에 대한 이해가 부족하고 또한 정량적인 연구가 전혀 진행된 바가 없으므로 모델식에서는 제외하였다.

7. 결 론

Butanol 발효에 있어서 격막추출공정에 대한 수학적 모델을 설정하였으며 이를 토대로 행한 수치모사 연구 결과를 종합해 볼 때 다음과 같은 결론을 얻을 수 있었다.

1. 생산성 향상에 가장 효과적인 방법은 가능한 한 고농도의 Feed 당을 사용하는 것이다.

2. 500g/l의 feed 당 사용시 도달 가능한 최대생산성은 4.34g/l.h이다 (D=0.037 h⁻¹일 때).

3. 추출용량을 증가시키기 위한 방법들 - 즉 격막면적이나 용매공급속도의 증가-은 그로 인하여 예상되는 설비투자나 운영비의 증가에 비하여 생산성 향상효과는 미약하다.

4. 용매의 분배계수는 oleyl alcohol 정도이면 적당 하며 그 이상의 분배계수를 가진 용매를 사용하여도 생산성 향상에는 크게 기여하지 않는다.

5. Constant flow assumption을 도입하면 analytical solution을 얻을 수 있으나 생산성 계산에 약 5-20%의 오차가 발생한다.

6. 본 연구에서 개발된 모델식은 균체농도 예측에는 다소간 개선의 여지가 있으나 실제 system을 대체로 잘 반영하고 있다.

NOMENCLATURE

- A : membrane area, cm² or ft²
- C_i : concentration of component i in the broth, g/l
- C_{Si} : concentration of component i in the extractant, g/l
- C_{SPi} : concentration of component i in the feed extractant, g/l
- C₄ : butanol concentration in the broth, g/l
- C_{4t} : threshold butanol concentration in the broth, g/l
- D : inlet aqueous dilution rate, h⁻¹

D'	: outlet aqueous dilution rate, h^{-1}
D_s	: inlet extractant dilution rate, h^{-1}
D'_s	: outlet extractant dilution rate, h^{-1}
Ex	: extraction coefficient ($= D_s V / kA$)
F	: inlet aqueous feed rate, l/h
F'	: outlet aqueous feed rate, l/h
F_p	: volumetric extraction rate of total products, l/h
F_s	: inlet extractant flow rate, l/h
F'_s	: outlet extractant flow rate, l/h
K_D	: distribution coefficient
K_{4f}	: butanol inhibition kinetic parameter, g/l
k_i	: overall mass transfer coefficient, cm/sec
P	: product concentration, g/l
PD_S	: recovered productivity, g/l.h
PD_T	: total productivity
ϵ_p	: specific productivity
r_i	: weight fraction of component i in the product
S	: substrate concentration in broth, g/l
S_F	: substrate concentration in feed, g/l
V	: volume of broth, l
W_i	: extraction rate, g/l
X	: cell concentration, g/l
x_1	: factor correlating S and ρ
x_2	: factor correlating P and ρ
$Y_{X/S}$: cell yield ($\text{g cell/g substrate}$)
$Y_{C/S}$: carbon dioxide yield ($\text{g CO}_2/\text{g substrate}$)
α	: growth-associated coefficient correlating q_p and μ
β	: non-growth-associated coefficient correlating q_p and μ
μ	: specific cell growth rate, h^{-1}
μ_{max}	: maximum specific cell growth rate, h^{-1}
ρ	: density of aqueous phase, g/cm^3
ρ_F	: density of feed solution, g/cm^3
ρ_s	: density of extractant phase, g/cm^3
ψ_p	: product inhibition factor

REFERENCES

- Minier, M. and Goma, G.: *Biotechnol. Bioeng.*, **24**, 1565 (1982).
- Griffith, W.L., Compere, A.L., and Goigin, J.M.: *Dev. Ind. Microbiol.*, **24**, 347 (1983).
- Traxler, R.W. and Wood, E.M.: *Dev. Ind. Microbiol.*, **26**, 519 (1985).
- Hoover, K.C. and Hwang, S.T.: *J. Membrane Sci.*, **10**, 253 (1982).
- Groot, W.J., van den Oever, C.E., and Kossen, N.W.F.: *Biotechnol. Lett.*, **6**(11), 709 (1984).
- Aptel, P., Challard, N., Curry, J., and Neel, J.: *J. Membrane Sci.*, **1**, 271 (1976).
- Kiani, A., Bhave, P.R., and Sirkar, K.K.: *J. Membrane Sci.*, **20**, 125 (1986).
- Matsumura, M. and Markl, H.: *Biotechnol. Bioeng.*, **28**, 534 (1986).
- Frank, G.T. and Sirkar, K.K.: *Biotechnol. Bioeng. Symp.*, **17**, 303 (1987).
- Jeon, Y.J. and Lee, Y.Y.: *Enz. Microbial. Technol.*, **11**(7), in press (1989).
- Jeon, Y.J.: Ph.D. Dissertation, Auburn University, Auburn, Alabama, USA (1988).
- Milestone, N.B. and Bibby, D.M.: *J. Chem. Tech. Biotechnol.*, **31**, 732 (1981).
- Fournier, R.L.: *Biotechnol. Bioeng.*, **28**, 1206 (1986).
- Kollerup, F. and Daugulis, A.J.: *Biotechnol. Bioeng.*, **27**, 1335 (1985).
- Costa, J.M. and Moreira, A.R.: *ACS Symp. Ser.*, **207**, 501 (1983).
- Papoutsakis, E.T.: *Biotechnol. Bioeng.*, **26**, 174 (1984).
- Perry, R.H. and Chilton, C.H.: "Chemical Engineers' Handbook", 5th ed., Section 3, McGraw-Hill, New York (1973).
- Taya, M., Ishii, S., and Kobayashi, T.: *J. Ferm. Technol.*, **63**(2), 181 (1985).
- Soni, B.K., Souaille, P., and Goma, G.: *Biotechnol. Bioeng. Symp.*, **17**, 239 (1987).